

การทดลองและการทดลอง

1. การเก็บตัวอย่างและการสกัดแยกองค์ประกอบทางเคมีของเปล้าใหญ่

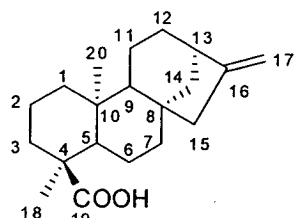
ทำการเก็บตัวอย่างต้นเปล้าใหญ่จาก จังหวัดประจำบดีขันธ์ จังหวัดราชบุรี จังหวัดน่าน และจังหวัดนครสวรรค์ โดยนำส่วนเปลือกลำต้นมาสับให้เป็นชิ้นเล็ก ๆ ผึ่งให้แห้งสนิท และบดให้เป็นผงละเอียด จากนั้นนำไปทำการสกัดด้วยตัวทำละลายอินทรีย์ คือ เอกซ์เจน เอธิลอะซีเตต และเมทานอล ตามลำดับ ระหว่างตัวทำละลายโดยใช้เครื่อง rotary evaporator ตัวทำละลายอินทรีย์ที่ใช้ในการสกัดเป็นตัวทำละลายชนิด commercial grade ที่กลั่นให้บริสุทธิ์แล้ว

2. การแยกองค์ประกอบทางเคมีจากเปล้าใหญ่ จังหวัดประจำบดีขันธ์

นำเปลือกดันเปล้าใหญ่ที่มีน้ำหนักแห้ง 4.4 กิโลกรัม มาสกัดด้วยเอกซ์เจน 3 ลิตร จำนวน 3 ครั้ง ทำการระเหยตัวทำละลาย ได้สารสกัดหยาบเอกซ์เจนเป็นของเหลวหนืดสีเหลืองอมเขียว น้ำหนัก 82.6 กรัม นำออกที่เหลือมาสกัดด้วยเอธิลอะซีเตต 3 ลิตร จำนวน 3 ครั้ง ทำการระเหยตัวทำละลาย ได้ส่วนสกัดหยาบเอธิลอะซีเตตเป็นของเหลวหนืดสีน้ำตาล น้ำหนัก 60.4 กรัม หากที่เหลือมาสกัดด้วยเมทานอล ทำการระเหยตัวทำละลาย ได้สารสกัดหยาบเมทานอลเป็นของเหลวหนืดสีน้ำตาลเข้มน้ำหนัก 7.2 กรัม

นำสารสกัดหยาบเอกซ์เจนมาแยกองค์ประกอบทางเคมี โดยเทคนิคชิลิกาเจลคลอัลฟ์โครมาโทกราฟี ชั้ด้วยตัวทำละลาย เอกซ์เจน เอกซ์เจน-เอธิลอะซีเตต เอธิลอะซีเตต-เมทานอล และเมทานอล ตามลำดับ เก็บสารที่ผ่านจากคลอัลฟ์ที่ลิ้น 50 ml ทำการรวบรวมที่เหมือนกันเข้าด้วยกันโดยใช้การเทคนิคชิลิกาเจลเชอร์โครมาโทกราฟี และใช้วานิลินในสารละลายกรด ในการตรวจสอบสารแต่ส่วนที่เก็บได้ และนำสารที่เก็บได้แต่ละส่วนไปแยกช้าโดยใช้เทคนิคชิลิกาเจลคลอัลฟ์โครมาโทกราฟี พบร่ว่าได้สารประกอบ 1 เป็นของแข็งสีขาวน้ำหนัก 10.9 กรัม ซึ่งเป็นสารที่เป็นองค์ประกอบหลัก เมื่อทำการวิเคราะห์โดยใช้เทคนิคแมสสเปกโตรเมตري (MS) พบร่วมโมเลกุลไอออน (m/z) เป็น 302 ซึ่งมีสูตรโมเลกุลเป็น $C_{20}H_{30}O_2$ และได้พิสูจน์โครงสร้างโดยใช้เทคนิค FT-IR ปรากฏแถบที่ 3300 cm^{-1} แสดงการสั่นของหมุ่ไฮดรอกซิล ที่ $2940, 2851\text{ cm}^{-1}$ แสดงการสั่นของ $sp^3\text{ C-H}$ ที่ 1680 cm^{-1} แสดงการสั่นของ $C=O$ ที่ 1465 cm^{-1} แสดงการสั่นของ $C=C$ และที่ $1255, 1192\text{ cm}^{-1}$ แสดงการสั่นของ $C-O$

จากการพิสูจน์โครงสร้างด้วย $^1\text{H-NMR}$ และ $^{13}\text{C-NMR}$ ได้ผลดังตารางที่ 1 ร่วมกับ 2D NMR พบว่าสารประกอบ 1 มีค่า chemical shift ที่สอดคล้องตรงกับสาร kaur-16-en-19-oic acid และเป็นสารที่เคยมีการรายงานไว้แล้ว[4]



รูปที่ 1 โครงสร้างสารประกอบ 1

ตารางที่ 1 แสดงผลจากการวิเคราะห์ด้วย $^1\text{H-NMR}$ และ $^{13}\text{C-NMR}$ ของสารประกอบ 1

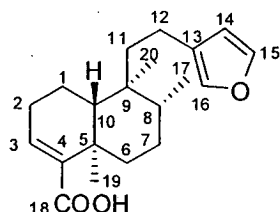
ตำแหน่ง	Chemical shift (ppm)	
	^{13}C	^1H
1	40.6	0.87 (1H, br) 0.85 (1H, d, $J=4$)
2	19.0	1.84 (1H, br) 1.86 (1H, br)
3	37.7	1.12 (1H, d, $J=5$ Hz) 2.16 (1H, d, $J=14$ Hz)
4	43.2	-
5	56.9	1.07 (1H, d, $J=7$ Hz)
6	21.7	1.82 (1H, d, $J=3$ Hz) 1.93 (1H, br)
7	41.3	1.54 (1H, br) 1.46 (1H, br)
8	44.2	-
9	55.6	1.05 (1H, d, $J=7$ Hz)
10	39.6	-
11	18.4	1.60 (1H, br) 1.59 (1H, br)

ตำแหน่ง	Chemical shift (ppm)	
	¹³ C	¹ H
12	33.0	1.49 (1H, br) 1.64 (1H, br)
13	43.8	2.64 (1H, br)
14	39.4	1.16 (1H, dd, J=5,11 Hz) 2.01 (1H, dd, J=2,11 Hz)
15	48.9	2.06 (1H, br) 2.04 (1H, d, J=2 Hz)
16	155.5	-
17	102.8	4.75 (1H, s) 4.81 (1H, s)
18	28.6	1.22 (3H, s)
19	184.9	-
20	15.1	0.99 (3H, s)

สารสกัดหอยนางรมเมื่อนำมาแยกองค์ประกอบทางเคมีโดยเทคนิคชิลิกาเจล columน์ โครมาโทกราฟี ชະด້ວຍດ້ວຍทำລະລາຍ เอกเซນ เอกเซນ-ເອົຟລະຫູ້ເຕີຕ ເອົຟລະຫູ້ເຕີຕ-ເມທານອລ ແລະເມທານອລ ດາມລຳດັບ ພບວ່າໄດ້ສາງປະກອບ 1 ນ້ຳໜັກ 1.1 ກຣັມ ແລະໄດ້ສາງປະກອບ 2 ເປັນຂອງແນັງສື່ງວ່າ ນ້ຳໜັກ 1.7 ກຣັມ ເມື່ອວິເຄາະທີ່ໂຄຮງສ້າງດ້ວຍ FT-IR ປຽກງູແນບກາຮູດກລືນທີ່ 3140 cm^{-1} ແສດກາຮັ້ນຂອງຫຼຸ່ມໄຊໂຮກອົບທີ່ 2930 cm^{-1} ແສດກາຮັ້ນຂອງ $sp^3\text{ C-H}$ ທີ່ $1760, 1724\text{ cm}^{-1}$ ແສດກາຮັ້ນຂອງ C=O ທີ່ 1597 cm^{-1} ແສດກາຮັ້ນຂອງ C=C ທີ່ $1192, 1174\text{ cm}^{-1}$ ແສດກາຮັ້ນຂອງ C-O ແລະ ທີ່ 869 ແສດກາຮັ້ນຂອງ C=CH out of plane

ເມື່ອກຳກວິເຄາະທີ່ໂດຍໃຫ້ເທົ່ານີ້ມີມາເລຸກູ້ລາໄວອອນ (m/z) ເປັນ 316 ທີ່ມີສູດຮມາເລຸກູ້ເປັນ $\text{C}_{20}\text{H}_{28}\text{O}_3$

จากการพิสูจน์โครงสร้างด้วยเทคนิค 1D และ 2D NMR ได้ผลดังตารางที่ 2 พบว่าสารประกอบ 2 มีค่า chemical shift ที่สอดคล้องตรงกับสาร (-)-hardwickiic acid ซึ่งเป็นสารที่เคยมีการรายงานไว้แล้ว และพบว่าเป็นสารที่มีฤทธิ์ในการยับยั้งเซลล์มะเร็ง [5, 6]



รูปที่ 2 โครงสร้างสารประกอบ 2

ตารางที่ 2 แสดงผลจากการวิเคราะห์ด้วย $^1\text{H-NMR}$ และ $^{13}\text{C-NMR}$ ของสารประกอบ 2

ตำแหน่ง	Chemical shift (ppm)	
	^{13}C	^1H
1	17.9	1.56 (1H, m) 1.64 (1H, m)
2	27.7	2.14 (1H, m) 2.27 (1H, m)
3	140.1	6.80 (1H, dd, $J=3.0, 4.4$ Hz)
4	142.0	-
5	37.9	-
6	36.5	1.09 (1H, td, $J=5.2, 12.9, 13.0$ Hz) 2.38 (1H, dt, $J=3.2, 3.2, 13.0$ Hz)
7	27.1	1.35 (1H, m) 1.48 (1H, m)
8	36.4	1.50 (1H, m)
9	39.1	-
10	46.9	1.37 (1H, m)
11	39.2	1.48 (1H, m) 1.59 (1H, m)

ตำแหน่ง	Chemical shift (ppm)	
	¹³ C	¹ H
12	18.3	2.14 (1H, m) 2.23 (1H, m)
13	126.1	-
14	111.3	6.22 (1H, dd, <i>J</i> =0.8, 1.7 Hz)
15	138.7	7.17 (1H, br s)
16	143.0	7.24 (1H, d, <i>J</i> =0.8 Hz)
17	16.2	0.79 (3H, d, <i>J</i> =6.5 Hz)
18	173.0	-
19	20.7	1.21 (3H, s)
20	18.3	0.773H, s)

3. การแยกองค์ประกอบทางเคมีจากเปลือกใหญ่ จังหวัดราชบุรี

นำเปลือกดันเปลือกใหญ่บดละเอียดที่มีน้ำหนักแห้ง 3.7 กิโลกรัม มาสกัดด้วยเอகเซน 3 ลิตร จำนวน 3 ครั้ง ทำการระเหยด้วยทำละลาย ได้สารสกัดขยายเบกเซนเป็นของเหลวหนืดสีเหลืองอมน้ำตาล น้ำหนัก 301.4 กรัม นำภาชนะที่เหลือมาสกัดด้วยเอธิลอะซีเตต 3 ลิตร จำนวน 3 ครั้ง ทำการระเหยด้วยทำละลาย ได้สารสกัดขยายเอธิลอะซีเตตเป็นของเหลวหนืดสีน้ำตาล น้ำหนัก 74.1 กรัม ภาชนะที่เหลือมาสกัดด้วยเมทานอล ทำการระเหยด้วยทำละลาย ได้สารสกัดขยายเมทานอลเป็นของเหลวหนืดสีน้ำตาลเข้ม น้ำหนัก 10.2 กรัม

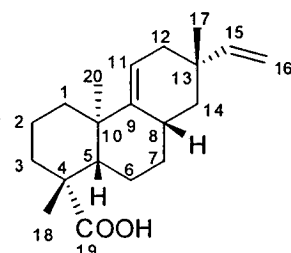
นำสารสกัดขยายเบกเซนมาแยกองค์ประกอบทางเคมีโดยเทคนิคชิลิกาเจล columina โครมาโทกราฟี ชั่วด้วยตัวทำละลาย เบกเซน เบกเซน-เอธิลอะซีเตต เอธิลอะซีเตต-เมทานอล และเมทานอล ตามลำดับ เก็บสารที่ผ่านจาก columina ที่ลະ 50 ml ทำการรวมสารที่เหมือนกันเข้าด้วยกันโดยใช้การ

เทคนิคชิลิกาเจล โครมาโทกราฟี และใช้วานิลินในสารละลายกรด ในการตรวจสอบสารแต่ส่วนที่เก็บได้

หลังรวม fraction ที่ชั่วด้วย 30% เอธิลอะซีเตตในเบกเซน ปรากฏว่ามีผลึกใส่ไม่มีสีดกออกมาก จำนวนมาก ทำการกรองแยกผลึก และสารละลายที่เหลือนำไประเหยด้วยทำละลาย และนำกลับมาตกรถซ้ำ ได้สารประกอบ 3 เป็นผลึกใส่ไม่มีสี น้ำหนัก 153.9 กรัม ซึ่งเป็นสารที่เป็นองค์ประกอบหลัก เมื่อทำการวิเคราะห์โดยใช้เทคนิคแมสสเปกโตรเมทรี (MS) พบร่วมมโนเลกูล่าไอออน (*m/z*) เป็น 302 ซึ่งมีสูตร

โมเลกุลเป็น $C_{20}H_{30}O_2$ และได้พิสูจน์โครงสร้างโดยใช้เทคนิค FT-IR ปรากฏแบบที่ 3080 cm^{-1} แสดงการสั่นของหมุนไฮดรอกซิล ที่ $2934, 2856\text{ cm}^{-1}$ แสดงการสั่นของ $sp^3\text{ C-H}$ ที่ 1690 cm^{-1} แสดงการสั่นของ $C=O$ ที่ 1464 cm^{-1} แสดงการสั่นของ $C=C$ ที่ $1261, 1183\text{ cm}^{-1}$ แสดงการสั่นของ $C-O$ และที่ 811 cm^{-1} แสดงการสั่นของ $C=CH$ out of plane

จากการพิสูจน์โครงสร้างด้วย $^1\text{H-NMR}$ และ $^{13}\text{C-NMR}$ ได้ผลดังตารางที่ 3 พบว่าสารประกอบ 3 มีค่า chemical shift ที่สอดคล้องตรงกับสาร acanthoic acid และเป็นสารที่เคยมีการรายงานไว้แล้ว[7] ซึ่ง acanthoic acid เป็นสารที่มีรายงานฤทธิ์ในการต้านการอักเสบ[8] และลดอาการปวดประสาท ลดความดันโลหิตสูง ลดอาการข้ออักเสบ และลดอาการเบื้องหน้า[9]



รูปที่ 3 โครงสร้างสารประกอบ 3

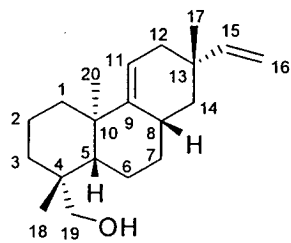
ตารางที่ 3 แสดงผลจากการวิเคราะห์ด้วย $^1\text{H-NMR}$ และ $^{13}\text{C-NMR}$ ของสารประกอบ 3

ตำแหน่ง	Chemical shift (ppm)	
	^{13}C	^1H
1	41.8	1.29 (1H, m) 1.80 (1H, m)
2	18.9	1.92 (1H, m) 2.20 (1H, m)
3	38.1	0.99 (1H, m) 2.15 (1H, m)
4	44.1	-
5	47.8	1.67 (1H, dd, $J=6.2, 13.0\text{ Hz}$)
6	20.3	1.48 (1H, m) 1.90 (1H, m)
7	27.8	1.22 (1H, m) 1.74 (1H, m)

ตำแหน่ง	Chemical shift (ppm)	
	¹³ C	¹ H
8	28.7	2.30 (1H, m)
9	149.9	-
10	38.3	-
11	116.6	5.39 (1H, m)
12	37.5	1.78 (1H, m) 2.01 (1H, m)
13	34.8	-
14	41.7	1.04 (1H, m) 1.47 (1H, m)
15	150.2	5.85 (1H, dd, <i>J</i> = 10.4, 17.4 Hz)
16	109.2	4.87 (1H, dd, <i>J</i> =1.2, 10.4 Hz) 4.93 (1H, dd, <i>J</i> =1.2, 17.4 Hz)
17	22.2	0.97 (3H, s)
18	28.6	1.25 (3H, s)
19	184.8	-
20	22.4	1.00 (3H, s)

นำ fraction ที่เหลือมาแยกองค์ประกอบข้าโดยพบว่าสามารถแยกสารประกอบโดยเทคนิคชิลีกาเจลคลอัมน์โครมาโท-กราฟี ชั่วตัวยึดตัวทำละลาย เอธิลอะซีเตต-เอกเซน 30% สามารถแยกสารประกอบ 4 เป็นของแข็งสีขาวน้ำหนัก 1.7 กรัม เมื่อทำการวิเคราะห์โดยใช้เทคนิคแมสสเปกโตรเมตري (MS) พบว่ามีโมเลกุลไอออน (*m/z*) เป็น 288 ซึ่งมีสูตรโมเลกุลเป็น $C_{20}H_{32}O$ และได้พิสูจน์โครงสร้างโดยใช้เทคนิค FT-IR ปรากฏแถบที่ $3241-3152\text{ cm}^{-1}$ แสดงการสั่นของหมุ่ไฮดรอกซิล ที่ 2923 cm^{-1} แสดงการสั่นของ $sp^3 C-H$ ที่ $1626, 1605\text{ cm}^{-1}$ $C=C$ ที่ $1262, 1186\text{ cm}^{-1}$ แสดงการสั่นของ $C-O$

จากการพิสูจน์โครงสร้างด้วย ¹H-NMR และ ¹³C-NMR ได้ผลดังตารางที่ 4 พบว่าสารประกอบ 4 มีค่า chemical shift ที่สอดคล้องตรงกับสาร acanthol และเป็นสารที่เคยมีการรายงานไว้แล้ว[7]



รูปที่ 4 โครงสร้างสารประกอบ 4

ตารางที่ 4 แสดงผลจากการวิเคราะห์ด้วย $^1\text{H-NMR}$ และ $^{13}\text{C-NMR}$ ของสารประกอบ 4

ตำแหน่ง	Chemical shift (ppm)	
	^{13}C	^1H
1	41.1	1.22 (1H, m) 1.86 (1H, m)
2	18.0	1.90 (1H, m) 2.14 (1H, m)
3	35.5	0.93 (1H, m) 1.84 (1H, m)
4	38.4	-
5	46.3	1.57 (1H, dd, $J=6.0, 12.9$ Hz)
6	19.1	1.49 (1H, m) 1.85 (1H, m)
7	26.9	1.18 (1H, m) 1.70 (1H, m)
8	29.0	2.30 (1H, m)
9	151.3	-
10	37.7	-
11	115.8	5.29 (1H, m)
12	37.6	1.77 (1H, m) 2.03 (1H, m)
13	34.8	-

ตำแหน่ง	Chemical shift (ppm)	
	¹³ C	¹ H
14	41.6	1.02 (1H, m) 1.39 (1H, m)
15	150.3	5.75 (1H, dd, J=17.4, 10.6 Hz)
16	109.1	4.79 (1H, dd, J=10.6, 1.3 Hz) 4.87 (1H, 17.4, 1.3 Hz)
17	22.4	0.98 (3H, s)
18	26.5	0.97 (3H, s)
19	65.1	3.84 (1H, d, J= 8.0 Hz) 3.54 (1H, d, J=8.0 Hz)
20	26.0	1.04 (3H, s)

สารสกัดหยาบเอธิลอะซีเตตเมื่อนำมาแยกองค์ประกอบทางเคมีโดยเทคนิคชิลิกาเจลคอลัมน์ โครมาโทกราฟี ชะดวยตัวทำละลาย เอกเซน เอกเซน-เอธิลอะซีเตต เอธิลอะซีเตต-เมทานอล และเมทานอล ตามลำดับ สามารถแยกสารประกอบเป็นของแข็งสีขาว น้ำหนัก 0.6 กรัม เมื่อวิเคราะห์โครงสร้างด้วย FT-IR แมสสเปกโตรเมตทรี ¹H-NMR ¹³C-NMR และ 2D NMR พบร้าสารประกอบที่แยกได้คือ (-)-hardwickiic acid (1)

4. การแยกองค์ประกอบทางเคมีจากเปลือกใบญี่ปุ่นหวัดน่าน

นำเปลือกต้นเปลือกใบญี่ปุ่นที่แห้งและบดละเอียด น้ำหนักแห้ง 0.5 กิโลกรัม มาสกัดด้วยเอกเซน 5 ลิตร ช้ำ 2 ครั้ง ทำการระเหยตัวทำละลาย ได้สารสกัดหยาบเอกเซนเป็นของเหลวหนืดสีเหลืองอมเขียว น้ำหนัก 15 กรัม นำากามาสกัดช้ำด้วยเอธิลอะซีเตต 5 ลิตร ช้ำ 2 ครั้ง ทำการระเหยตัวทำละลาย ได้สารสกัดหยาบเป็นของเหลวหนืดสีเหลือง น้ำหนัก 25 กรัม ภาคที่เหลือนนำมาสกัดด้วยเมทานอล 5 ลิตร ช้ำ 2 ครั้ง ทำการระเหยตัวทำละลาย ได้สารสกัดหยาบเป็นของเหลวหนืดสีน้ำตาลแดง น้ำหนัก 20 กรัม

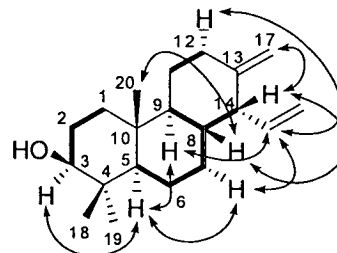
นำสารสกัดหยาบเอกเซน (15 กรัม) มาทำการแยกองค์ประกอบทางเคมีโดยเทคนิคชิลิกาเจลคอลัมน์ โครมาโทกราฟี เริ่มชะดวยตัวทำละลายเอกเซน จากนั้นเพิ่มข้าของสารละลายโดยการเพิ่ม

เอธิลอะซีเดต จนถึงเอธิลอะซีเดต 100% เก็บสารที่ผ่านจากคลัมน์ที่ลະ 25 ml ทำการรวมสารที่เหมือนกันเข้าด้วยกันโดยใช้การเทคนิคชินเลเยอร์โคม่าโทกราฟี และใช้วานิลินในสารละลายกรด ในการตรวจสอบสารแต่ส่วนที่เก็บได้

จากการแยกดังที่กล่าวข้างต้นหลังจากทำการระเหยตัวทำละลายสามารถรวมส่วนที่เหมือนกันได้ทั้งหมด 3 fraction โดย fraction ที่ 1 ถูกชะออกมาที่ 0-20% เอธิลอะซีเดตในเอกเซนเม็น้ำหนัก 2.1 กรัม fraction ที่ 2 ถูกชะออกมาที่ 25-30% เอธิลอะซีเดตในเอกเซนเม็น้ำหนัก 5.4 กรัม และ fraction ที่ 3 ถูกชะออกมาที่ 50% เอธิลอะซีเดตในเอกเซนเม็น้ำหนัก 1.3 กรัม

นำ fraction ที่ 1 และ 2 มาแยกองค์ประกอบบ้ำโดยเทคนิคิลิกาเจลคลัมน์โคม่าโทกราฟี สามารถแยกสารประกอบ 5 ได้เป็นมีลักษณะเป็นของแข็งสีขาว เมื่อนำมาตอกผลลัพธ์จากตัวทำละลายเมทานอล ได้เป็นผลลัพธ์สีขาวรูปเข็มน้ำหนัก 200 มิลลิกรัม (0.04% จากน้ำหนักแห้งของเปลือกดันเปล้าใหญ่) สารประกอบ 5 เมื่อนำไปวิเคราะห์โดยวิธี elemental analysis พบร่วมสูตรโมเลกุลเป็น $C_{20}H_{32}O$ ซึ่งสอดคล้องกับการวิเคราะห์โดยเทคนิคแมสสเปกโตรเมทรีที่ปรากวู m/z 289 $[M+H]^+$ และเมื่อนำไปวิเคราะห์โดยเทคนิค FT-IR ปรากวูแบบการดูดกลืนที่ 3413 cm^{-1} แสดงการสั่นของหมุ่ไซดรอกซิล 1633 cm^{-1} แสดงการสั่นของ $\text{C}=\text{C}$

จากการวิเคราะห์โดยเทคนิค $^1\text{H-NMR}$ และ $^{13}\text{C-NMR}$ แสดงผล ดังตารางที่ 5 จาก $^{13}\text{C-NMR}$ ปรากวูสัญญาณของ oxygenated methine carbon (δ 79.1 ppm) สัญญาณของ exocyclic methylene (δ 106.4, CH_2 ; 152.4, C) และสัญญาณของ vinyl คาร์บอน (δ 137.7, CH; 115.9, CH_2) จากเทคนิค $^1\text{H-NMR}$ ปรากวูสัญญาณของ olefinic โปรดอน ของ terminal methylene ที่ δ 4.57(s) และ 4.65(s) สัญญาณของ vinyl โปรดอนที่ δ 6.01 (1H, ddd, $J=17.0, 9.6$ and 9.2 Hz), 5.02 (1H, dd, $J=9.6$ and 1.6 Hz), and 5.03 (1H, dd, $J=17.0$ and 1.6 Hz) และสัญญาณของ methyl โปรดอน ที่ δ 0.80 (3H, s), 0.97 (3H, s) และ 0.79 (3H, s) จากการวิเคราะห์โดยเทคนิค 1D ร่วมกับ 2D NMR คือ COSY, HSQC, HMBC และ NOESY พบร่วมสาร 5 มีโครงสร้างแบบ cleistanthane-type diterpenoid และจากการวิเคราะห์ความสัมพันธ์ทางสเตอโรเคมี โดยพิจารณาจาก NOESY สเปกตรัมอย่างละเอียด ทำให้ทราบว่า สารประกอบ 5 คือ $(5\alpha,8\beta,9\alpha,10\beta,14\alpha)\text{-cleistantha-13(17),15-dien-3}\beta\text{-ol}$ (รูป 5)



— COSY

↔ NOESY

รูป 5 โครงสร้างสารประกอบ 5

ตารางที่ 5 แสดงผลจากการวิเคราะห์ด้วย $^1\text{H-NMR}$ และ $^{13}\text{C-NMR}$ ของสารประกอบ 5

ตำแหน่ง	Chemical shift (ppm)	
	^{13}C	^1H
1	37.6 (t)	1α : 1.06 (1H, m) 1β : 1.73 (1H, m)
2	27.5 (t)	2α : 1.52 (1H, m) 2β : 1.63 (1H, ddd, J=3.4, 7.3, 14.8 Hz)
3	79.1 (d)	3.22 (1H, dd, J=11.6, 4.5 Hz)
4	38.9 (s)	-
5	54.3 (d)	0.78 (1H, m)
6	21.3 (t)	6α : 1.34 (1H, m) 6β : 1.62 (1H, m)
7	32.1 (t)	7α : 1.24 (1H, m) 7β : 1.50 (1H, m)
8	40.5 (d)	1.49 (1H, m)
9	49.2 (d)	1.04 (1H, m)
10	36.9 (s)	-
11	27.0 (t)	11α : 1.75 (1H, m) 11β : 1.77 (1H, m)
12	31.3 (t)	12α : 2.17 (1H, m) 12β : 2.17 (1H, m)

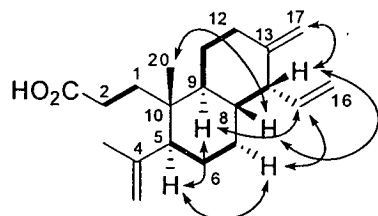
ตำแหน่ง	Chemical shift (ppm)	
	¹³ C	¹ H
13	152.4 (s)	-
14	54.6 (d)	2.81 (1H, dd, <i>J</i> =9.2, 4.2 Hz)
15	137.7 (d)	6.01 (1H, ddd, <i>J</i> =9.2, 9.6, 17.0 Hz)
16	115.9 (t)	16 α : 5.02 (1H, dd, <i>J</i> =9.6, 1.6 Hz) 16 β : 5.03 (1H, dd, <i>J</i> =17.0, 1.6 Hz)
17	106.4 (t)	17 α : 4.57 (1H, s) 17 β : 4.65 (1H, s)
18	15.8 (q)	0.80 (3H, s)
19	28.4 (q)	0.97 (3H, s)
20	14.0 (q)	0.79 (3H, s)

สารประกอบ 6 สามารถแยกได้จาก fraction 2 จากสารสกัด hairy root extract มาแยกขั้นโดยเทคนิคซิลิกาเจล column โปรแกรมไฮดรอกซิล 30% เอธิลอะซีเตตในเอ็กซ์ตรัคชัน และได้จากการแยกจากส่วนสกัด hairy root extract โดยเทคนิคซิลิกาเจล column โปรแกรมไฮดรอกซิล ได้สาร 6 เป็นของเหลวใสไม่มีสี น้ำหนัก 2.2 กรัม (0.4% จากน้ำหนักแห้งของเปลือกต้นเปล่าใหญ่) เมื่อวิเคราะห์สาร 6 โดยเทคนิคแมสสเปกโตรเมตري HRESIMS และ MS [M+H]⁺ ปรากฏ m/z 303 จึงได้ว่าสาร 6 มีสูตรโมเลกุลเป็น C₂₀H₃₀O₂ จากการวิเคราะห์โดยใช้ FT-IR ปรากฏแผนการดูดกลืนที่ 3400-2400 cm⁻¹ และ 1704 cm⁻¹ ซึ่งแสดงการสัมประสิทธิ์ carboxylic acid และที่ 1627 cm⁻¹ แสดงการสัมประสิทธิ์ของ C=C

การวิเคราะห์โดยเทคนิค ¹³C-NMR ร่วมกับ DEPT แสดงให้เห็นว่าสาร 6 มีคาร์บอนทั้งหมด 20 คาร์บอน ประกอบด้วย methyl คาร์บอนจำนวน 2 คาร์บอน methylene sp³ คาร์บอนจำนวน 6 คาร์บอน methine sp³ คาร์บอนจำนวน 4 คาร์บอน quarternary sp³ คาร์บอนจำนวน 1 คาร์บอน methylene sp² คาร์บอนจำนวน 3 คาร์บอน methine sp² คาร์บอนจำนวน 1 คาร์บอน quarternary sp² คาร์บอนจำนวน 2 คาร์บอน และ carbonyl คาร์บอน ของหมู่ carboxylic

จากการวิเคราะห์ด้วย ¹H-NMR และ ¹³C-NMR ได้ผลตั้งตารางที่ 6 จากโปรดอนสเปกต์รัมแสดงสัญญาณที่ δ 4.59 ppm (1H, d, *J*=0.9 Hz), 4.67 ppm (1H, d, *J*=0.9 Hz), 1.74 ppm (3H, s) และ 0.84 ppm (3H, s) ซึ่งเป็นสัญญาณของโปรดอนบนพันธุ์คุ้กที่อยู่ปลายด้านนอก และเมื่อเปรียบเทียบสเปกต์รัมของสาร 6 กับสาร 5 พบร่วมกันความคล้ายคลึงกันมาก ส่วนที่มีความแตกต่างชัดเจนคือ ที่วง A ของสาร 6 ตำแหน่งที่ 3 และ 4 ขาดออกจากกัน และตำแหน่งที่ 3 กล้ายเป็นหมู่ carbonyl โครงสร้าง

ของสาร 6 หาได้จากความสัมพันธ์ของ COSY, TOCSY และ NOESY ซึ่งทำให้ทราบว่าสาร 6 คือ 3,4-seco-cleistantha-4(18),13(17),15-trien-3-oic acid ดังรูป 6



— COSY

↔ NOESY

รูป 6 โครงสร้างสารประกอบ 6

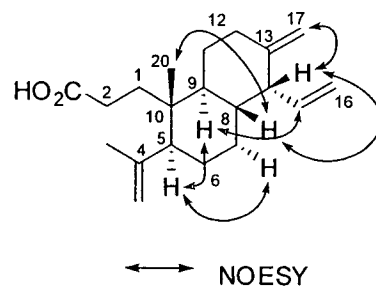
ตารางที่ 6 แสดงผลจากการวิเคราะห์ด้วย $^1\text{H-NMR}$ และ $^{13}\text{C-NMR}$ ของสารประกอบ 6

ตำแหน่ง	Chemical shift (ppm)	
	^{13}C	^1H
1	32.1 (t)	1.65 (2H, m)
2	28.1 (t)	2 α : 2.42 (1H, m) 2 β : 2.30 (1H, m)
3	181.0 (s)	-
4	148.4 (s)	-
5	50.7 (d)	1.96 (1H, dd, $J=12.8, 2.4$ Hz)
6	27.6 (t)	6 α : 1.44 (1H, m) 6 β : 1.67 (1H, m)
7	31.5 (t)	7 α : 1.24 (1H, m) 7 β : 1.46 (1H, m)
8	40.4 (d)	1.57 (1H, m)
9	41.0 (d)	1.26 (1H, m)
10	39.0 (s)	-
11	27.4 (t)	11 α : 1.17 (1H, m) 11 β : 1.72 (1H, m)

ตำแหน่ง	Chemical shift (ppm)	
	¹³ C	¹ H
12	31.3 (t)	2.20 (2H, m)
13	151.9 (s)	-
14	54.7 (d)	2.83 (1H, dd, <i>J</i> =8.8, 4.4 Hz)
15	137.3 (d)	6.02 (1H, ddd, <i>J</i> =17.6, 10.4, 8.8 Hz)
16	116.2 (t)	16 α : 5.03 (1H, dd, <i>J</i> =10.4, 1.6 Hz) 16 β : 5.04 (1H, dd, <i>J</i> =17.6, 1.6 Hz)
17	106.8 (t)	17 α : 4.59 (1H, d, <i>J</i> =0.9 Hz) 17 β : 4.67 (1H, d, <i>J</i> =0.9 Hz)
18	113.8 (t)	18 α : 4.67 (1H, s) 18 β : 4.88 (1H, s)
19	23.9 (q)	1.74 (3H, s)
20	16.8 (q)	0.84 (3H, s)

นำผลิตภัณฑ์ที่ได้จากการ **6** มาทำปฏิกิริยา epoxidation กับ *m*CPBA (1.2 eq.) ในตัวทำละลายไดคลอโรเมเทน ที่อุณหภูมิห้องเป็นเวลา 5 ชั่วโมง จะได้ผลิตภัณฑ์เป็นสารประกอบ **7** เป็นผลิตภัณฑ์หลัก และสาร **8** เป็นสารผลิตภัณฑ์รอง ปฏิกิริยา epoxidation ของสาร **6** พนวจว่าจะไม่เกิด epoxidation ที่ตำแหน่ง isopropylene

สารประกอบ **7** มีโมเลกุลไอโอน *m/z* 341 มีสูตรโมเลกุลคือ $C_{20}H_{30}O_3$ จากข้อมูล ¹H-NMR และ ¹³C-NMR ของสาร **7** (ตารางที่ 7) เปรียบเทียบกับสาร **6** มีลักษณะคล้ายคลึงกัน ยกเว้นที่ตำแหน่งพันธะคู่ (*C*-13 และ *C*-17) ถูกเปลี่ยนให้เป็น epoxide และเมื่อพิจารณา 2D NMR ของสาร **7** รวมทั้งพิจารณาความสัมพันธ์ทางสเดอริโอเคมีจาก NOESY สเปกตรัม ทำให้สามารถทราบได้ว่า สาร **7** คือ 13,17-epoxy-3,4-seco-cleistantha-4(18),15-dien-3-oic acid ดังรูป 7



รูป 7 โครงสร้างสารประกอบ 7

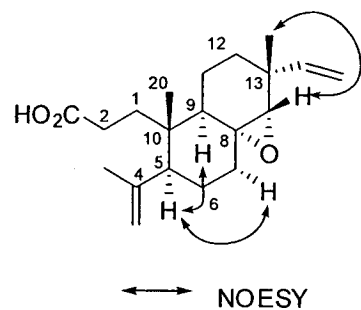
ตารางที่ 7 แสดงผลจากการวิเคราะห์ด้วย $^1\text{H-NMR}$ และ $^{13}\text{C-NMR}$ ของสารประกอบ 7

ตำแหน่ง	Chemical shift (ppm)	
	^{13}C	^1H
1	32.1 (t)	1.65 (2H, m)
2	28.0 (t)	2 α : 2.28 (1H, m) 2 β : 2.43 (1H, m)
3	180.1 (s)	-
4	147.4 (s)	-
5	50.7 (d)	1.96 (1H, dd, $J=12.4, 2.8$ Hz)
6	27.5 (t)	6 α : 1.42 (1H, m) 6 β : 1.71 (1H, m)
7	31.1 (t)	7 α : 1.19 (1H, m) 7 β : 1.39 (1H, m)
8	36.6 (d)	1.86 (1H, m)
9	40.2 (d)	1.25 (1H, m)
10	39.0 (s)	-
11	29.3 (t)	11 α : 1.16 (1H, m) 11 β : 2.02 (1H, m)
12	23.0 (t)	12 α : 1.46 (H, m) 12 β : 1.64 (1H, m)
13	61.5 (s)	-
14	53.0 (d)	1.67 (1H, m)

ตำแหน่ง	Chemical shift (ppm)	
	¹³ C	¹ H
15	135.5 (d)	5.90 (1H, ddd, $J=17.2, 10.4, 10.0$ Hz)
16	118.3 (t)	16α : 5.03 (1H, dd, $J=10.4, 2.0$ Hz) 16β : 5.11 (1H, dd, $J=17.2, 2.0$ Hz)
17	53.9 (t)	17α : 2.60 (1H, d, $J=4.4$ Hz) 17β : 2.63 (1H, d, $J=4.8$ Hz)
18	113.7 (t)	18α : 4.68 (1H, s) 18β : 4.86 (1H, s)
19	23.9 (q)	1.74 (3H, s)
20	16.8 (q)	0.90 (3H, s)

ส่วนสารประกอบ 8 มีโมเลกุลาร์ไฮโอน m/z 318 และมีสูตรโมเลกุลเป็น $C_{20}H_{30}O_3$ ข้อมูล 1H -NMR และ ^{13}C -NMR แสดงในตารางที่ 8 จากการพิจารณา ^{13}C -NMR สเปกตรัม ร่วมกับ HSQC พบร้าสาร 8 มีจำนวน carbonyl หนึ่ง คาร์บอน ประกอบด้วย methyl คาร์บอน จำนวน 3 คาร์บอน methylene sp^3 -คาร์บอน จำนวน 6 คาร์บอน methine sp^3 -คาร์บอน จำนวน 2 คาร์บอน oxygenated methine sp^3 -คาร์บอน จำนวน 1 คาร์บอน quaternary sp^3 -คาร์บอน จำนวน 2 คาร์บอน oxygenated quaternary sp^3 -คาร์บอน จำนวน 1 คาร์บอน methylene sp^2 -คาร์บอน จำนวน 2 คาร์บอน methine sp^2 -คาร์บอน จำนวน 1 คาร์บอน quaternary sp^2 -คาร์บอน จำนวน 1 คาร์บอน และ carbonyl คาร์บอน ของ carbonyl ออกซิลิก แอคทิด จำนวน 1 คาร์บอน

จาก 2D NMR สเปกตรัม คือ HMBC COSY TOCSY NOESY และข้อมูลจากค่า coupling constant ทำให้ทราบโครงสร้างสาร 8 เป็นดังรูป 8 ซึ่งสารเป็นคือ 14-epoxypimara-4(18),15-dien-3-oic acid



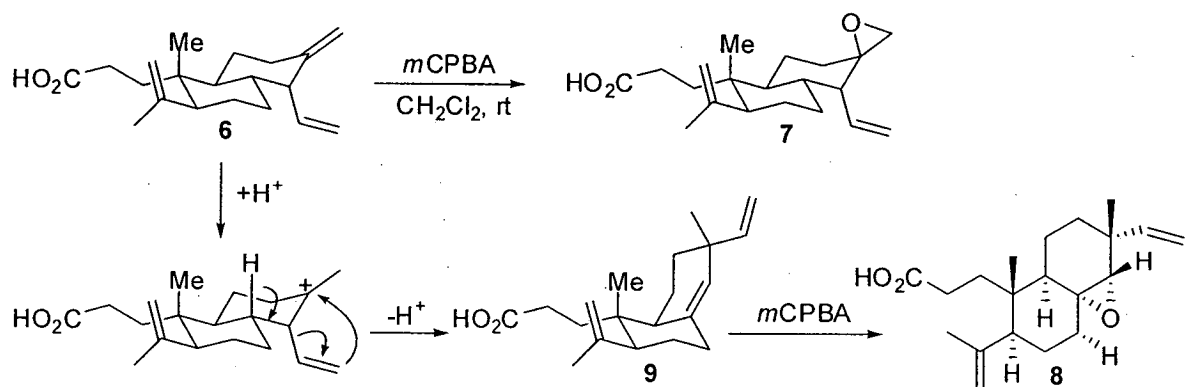
รูป 8 โครงสร้างสารประกอบ 8

ตารางที่ 8 แสดงผลจากการวิเคราะห์ด้วย $^1\text{H-NMR}$ และ $^{13}\text{C-NMR}$ ของสารประกอบ 8

ตำแหน่ง	Chemical shift (ppm)	
	^{13}C	^1H
1	32.1 (t)	1.66 (2H, m)
2	28.0 (t)	2α : 2.22 (1H, m) 2β : 2.44 (1H, m)
3	178.7 (s)	-
4	146.9 (s)	-
5	50.6 (d)	2.15 (1H, dd, $J=12.4, 2.4$ Hz)
6	25.6 (t)	6α : 1.49 (1H, m) 6β : 2.02 (1H, m)
7	34.7 (t)	7α : 1.27 (1H, m) 7β : 1.89 (1H, m)
8	61.4 (d)	-
9	43.3 (d)	1.22 (1H, m)
10	40.3 (s)	-
11	16.4 (s)	1.22 (2H, m)
12	34.9 (t)	1.38 (2H, m)
13	35.6 (s)	-
14	63.7 (d)	2.55 (1H, m)
15	146.8 (d)	5.87 (1H, ddd, $J=17.6, 10.4, 10.0$ Hz)

ตำแหน่ง	Chemical shift (ppm)	
	¹³ C	¹ H
16	112.0 (t)	16 α : 5.01 (1H, dd, $J=10.4, 2.0$ Hz) 16 β : 5.04 (1H, dd, $J=17.2, 2.0$ Hz)
17	22.0 (q)	1.10 (3H, s)
18	114.0 (t)	18 α : 4.74 (1H, s) 18 β : 4.90 (1H, s)
19	23.6 (q)	1.78 (3H, s)
20	18.3 (q)	0.98 (3H, s)

สารประกอบ 8 นั้นคาดว่าจะเกิดจากการเร่งด้วยกรดระหว่างการเกิดปฏิกิริยา epoxidation และเกิดผ่าน intermediate 9 ได้เป็นสารผลิตภัณฑ์ 8 ดังแผนภาพ 1



แผนภาพ 1 แสดงกลไกการเกิดปฏิกิริยาของสาร 6 เป็นสาร 7 และ 8

การทดสอบฤทธิ์ทางชีวภาพของสาร 5, 6, 7 และ 8 นำสารประกอบทั้ง 4 ทดสอบการยับยั้งเซลล์มะเร็ง 5 ชนิด คือ KATO-3, SW620, BT474, HEP-G2 และ CHAGO โดยใช้วิธี *in vitro* และติดตามผลโดยใช้วิธี MTT (3-(4,5-dimethylthiazol-2-yl)-2,5-diphenyltetrazolium bromide) colorimetric method [10, 11] และใช้ Doxorubicin hydrochloride เป็นตัวควบคุมบวก ผลการทดสอบแสดงในตารางที่ 9 โดยสารประกอบ 1 มีฤทธิ์ในการยับยั้ง HEP-G2 สูง และมีฤทธิ์ยับยั้ง KATO-3, BT474 และ CHAGO ได้ปานกลาง สารประกอบ 2 มีฤทธิ์ยับยั้ง KATO-3, BT474 และ HEP-G2 ส่วนสารประกอบ 3 และ 4 ไม่แสดงฤทธิ์ในการยับยั้งเซลล์มะเร็งที่ทดสอบ

ตารางที่ 9 แสดงผลจากการทดสอบฤทธิ์ในการยับยั้งเซลล์มะเร็งของสารประกอบ 5-8^a

สารประกอบ	ชนิดของเซลล์มะเร็งทดสอบ ^b				
	KATO-3	SW620	BT474	HEP-G2	CHAGO
1	6.0	>10.0	6.1	0.5	5.5
2	9.6	>10.0	10.0	8.6	>10.0
3	>10.0	>10.0	>10.0	>10.0	>10.0
4	>10.0	>10.0	>10.0	>10.0	>10.0
Doxorubicin hydrochloride	0.5	1.2	2.2	1.7	0.1

^a Results are expressed as IC50 values ($\mu\text{g/mL}$); ^b KATO-3, human gastric carcinoma ATCC No. HTB 103; SW620, human colon adenocarcinoma ATCC No. CCL 227; BT474, human breast ductal carcinoma ATCC No. HTB20; HEP-G2, human liver hepatoblastoma ATCC No. HB 8056; CHAGO, human undifferentiated lung carcinoma

จากการศึกษาผลการศึกษาที่ผ่านมาได้นำไปเป็น參考สาร และได้รับการตีพิมพ์ลงในวารสาร “Chemistry of Natural Compounds” ซึ่งเป็น journal ที่อยู่ใน Springer ดังเอกสารที่ได้แนบมาด้วยในท้ายรายงาน

5. การแยกองค์ประกอบทางเคมีจากเปล้าใหญ่ จังหวัดนครสวรรค์

นำเปลือกตันเปล้าใหญ่ที่แห้งและบดละเอียดน้ำหนัก 2.9 กิโลกรัม มาสกัดด้วยเอ็กเซน 3 ลิตร จำนวน 3 ครั้ง ทำการระเหยตัวทำละลาย ได้สารสกัดหยานเอ็กเซนเป็นของเหลวหนืด 61.5 กรัม นำากที่เหลือมาสกัดด้วยเอธิลอะซีเตต 3 ลิตร จำนวน 3 ครั้ง ทำการระเหยตัวทำละลาย ได้สารสกัดหยาน เอธิลอะซีเตตเป็นของเหลวหนืดสีน้ำตาล น้ำหนัก 37.2 กรัม หากที่เหลือมาสกัดด้วยเมทานอล ทำการระเหยตัวทำละลาย ได้สารสกัดหยานเมทานอลเป็นของเหลวหนืดสีน้ำตาลเข้มน้ำหนัก 11.8 กรัม

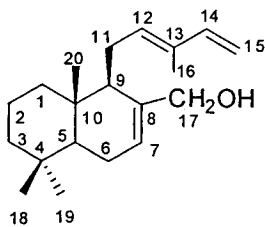
นำสารสกัดหยานเอ็กเซนมาแยกองค์ประกอบทางเคมีโดยเทคนิคชิลิกาเจลคอลัมน์โครมาโทกราฟี ชະด้วยตัวทำละลาย เอ็กเซน เอ็กเซน-เอธิลอะซีเตต เอธิลอะซีเตต-เมทานอล และเมทานอล ตามลำดับ เก็บสารที่ผ่านจากคอลัมน์ที่ล 50 ml ทำการรวมสารที่เหมือนกันเข้าด้วยกันโดยใช้การเทคนิคชิลิกาเจล เยอร์โครมาโทกราฟี และใช้วานิลินในสารละลายกรด ในการตรวจสอบสารแต่ส่วนที่เก็บได้

และนำสารที่เก็บได้แต่ละส่วนไปแยกช้ำโดยใช้เทคนิคซิลิกาเจลคลอลัมน์โครมาโทกราฟพบว่าได้สารประกอบเป็นของแข็งสีขาวน้ำหนัก 6.8 กรัม ซึ่งเป็นสารที่เป็นองค์ประกอบหลัก เมื่อทำการวิเคราะห์โดยใช้เทคนิคแมสสเปกโตรเมตري (MS), FT-IR, 1D และ 2D NMR ปรากฏว่าสารประกอบที่เป็นองค์ประกอบหลัก คือ สาร 1 (kaur-16-en-19-oic acid)

ส่วน fraction ที่เหลือเมื่อนำมาแยกช้ำโดยเทคนิคซิลิกาเจลคลอลัมน์โครมาโทกราฟ ชะลวย 30% เอธิลอะซีเตตในเอகเซน สามารถแยกสารประกอบ 9 ได้ เป็นของแข็งสีขาว น้ำหนัก 741 มิลลิกรัม และสารประกอบ 10 เป็นของแข็งสีขาว น้ำหนัก 325 มิลลิกรัม

เมื่อนำสารประกอบ 9 ไปวิเคราะห์โครงสร้างด้วย FT-IR ปรากฏแทนการดูดกลืนที่ 3239-3160 cm^{-1} แสดงการสั่นของหมุ่ไอกออกซิล ที่ 2917 cm^{-1} แสดงการสั่นของ sp^3 C-H ที่ 1631, 1608 cm^{-1} แสดงการสั่นของ C=C เมื่อทำการวิเคราะห์โดยใช้เทคนิคแมสสเปกโตรเมตري (MS) พบร่วมโมเลกุลไอออน (m/z) เป็น 288 ซึ่งมีสูตรโมเลกุลเป็น $\text{C}_{20}\text{H}_{32}\text{O}$

จากการพิสูจน์โครงสร้างด้วยเทคนิค 1D และ 2D NMR ได้ผลดังตารางที่ 10 พบร่วมสารประกอบ 9 คือ labda-7,12(E),14-triene-17-ol ซึ่งเป็นสารที่เคยมีการรายงานไว้แล้ว[12]



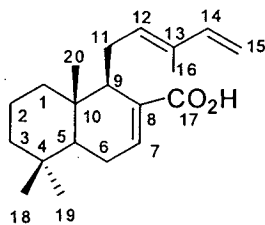
รูป 9 โครงสร้างสารประกอบ 9

ตารางที่ 10 แสดงผลจากการวิเคราะห์ด้วย $^1\text{H-NMR}$ และ $^{13}\text{C-NMR}$ ของสารประกอบ 9

ตำแหน่ง	Chemical shift (ppm)	
	¹³ C	¹ H
1	39.6	1.02 (1H, dt, $J=3.8, 13.1$ Hz) 1.20 (1H, m)
2	18.8	1.45 (1H, t, $J=3.7$ Hz) 1.54 (1H, m)
3	42.2	1.16 (1H, dt, $J=3.2, 12.8$ Hz) 1.41 (1H, m)
4	33.0	-
5	49.8	1.24 (1H, dd, $J=4.8, 13.0$ Hz)
6	23.6	2.06 (1H, d, $J=5.8$ Hz) 1.92 (1H, m)
7	125.6	5.75 (1H, m)
8	138.6	-
9	52.3	2.09 (1H, m)
10	36.7	-
11	25.8	2.34 (1H, d, $J=14.8$ Hz) 2.15 (1H, m)
12	134.8	5.56 (1H, t, $J=6.8$ Hz)
13	133.5	-
14	141.3	6.35 (1H, dd, $J=10.6, 17.0$ Hz)
15	110.6	4.90 (1H, d, $J=10.6$ Hz) 5.06 (1H, d, $J=17.0$ Hz)
16	11.9	1.75 (3H, s)
17	66.0	3.88 (1H, d, $J=12.8$ Hz) 4.05 (1H, d, $J=12.8$ Hz)
18	33.2	0.86 (3H, s)
19	22.0	0.88 (3H, s)
20	13.9	0.77 (3H, s)

ส่วนสารประกอบ 10 ไปวิเคราะห์โครงสร้างด้วย FT-IR ปรากฏแผนการคูดกลืนที่ 3418-2637 cm^{-1} แสดงการสั่นของหมุนไฮดรอกซิล ที่ 2934 cm^{-1} แสดงการสั่นของ sp^3 C-H ที่ 1711 แสดงการสั่นของหมู่คาร์บอนิล และที่ 1631, 1608 cm^{-1} แสดงการสั่นของ C=C เมื่อทำการวิเคราะห์โดยใช้เทคนิคแมสสเปกโตรเมตري (MS) พบร่วมโมเลกุลไอออน (m/z) เป็น 302 ซึ่งมีสูตรโมเลกุลเป็น $\text{C}_{20}\text{H}_{30}\text{O}_2$

จากการพิสูจน์โครงสร้างด้วยเทคนิค 1D และ 2D NMR ได้ผลดังตารางที่ 11 พบร่วมสารประกอบ 10 คือ labda-7,12(E),14-triene-17-oic acid ซึ่งเป็นสารที่เคยมีการรายงานไว้แล้ว[12]



รูป 9 โครงสร้างสารประกอบ 9

ตารางที่ 11 แสดงผลจากการวิเคราะห์ด้วย $^1\text{H-NMR}$ และ $^{13}\text{C-NMR}$ ของสารประกอบ 10

ตำแหน่ง	Chemical shift (ppm)	
	^{13}C	^1H
1	40.8	1.01 (1H, dt, $J=3.6, 13.0$ Hz) 1.20 (1H, m)
2	18.6	1.42 (1H, d, $J=2.8$ Hz) 1.54 (1H, m)
3	42.0	1.16 (1H, d, $J=3.8$ Hz) 1.42 (1H, m)
4	32.8	-
5	49.5	1.21 (1H, d, $J=4.2$ Hz)
6	23.9	2.04 (1H, m) 2.14 (1H, m)

ตำแหน่ง	Chemical shift (ppm)	
	¹³ C	¹ H
7	140.6	6.87 (1H, dt, <i>J</i> =2.0, 6.2 Hz)
8	133.7	-
9	50.0	2.37 (1H, m)
10	36.7	-
11	25.9	2.34 (1H, dd, <i>J</i> =6.2, 16.8 Hz) 2.58 (1H, m)
12	133.4	5.46 (1H, t, <i>J</i> =6.8 Hz)
13	133.1	-
14	141.7	6.31 (1H, dd, <i>J</i> =10.6, 17.2 Hz)
15	110.0	4.84 (1H, d, <i>J</i> =10.6, 17.2 Hz) 4.99 (1H, d, <i>J</i> =17.2 Hz)
16	11.7	1.65 (3H, s)
17	174.1	-
18	33.2	0.85 (3H, s)
19	22.1	0.89 (3H, s)
20	14.8	0.81 (3H, s)